

.

Calcul géométrique rapide pour la vision et les sciences des données

Jean Feydy
INRIA Paris

17 septembre 2021

CV : un parcours “maths-info” dirigé vers la médecine

Formation en **mathématiques** et **sciences des données** :

2012–2016 ENS Paris, mathématiques.

2014–2015 M2 mathématiques, vision, apprentissage à l'ENS Cachan.

2016–2019 Thèse en **imagerie médicale** avec Alain Trouvé de l'ENS Cachan.

2019–2021 **Deep learning géométrique** avec Michael Bronstein de l'Imperial College.

2021+ **Analyse de données médicales** dans l'équipe HeKA, INRIA Paris.

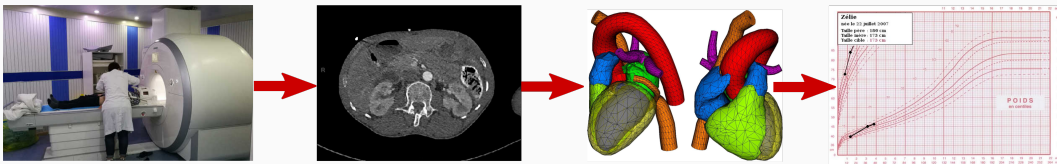
Liens étroits avec la **médecine** :

2015 Débruitage d'images chez **Siemens Healthcare** à Princeton.

2019+ MasterClass IA–Imagerie, pour les **internes de radio** à l'Université de Paris.

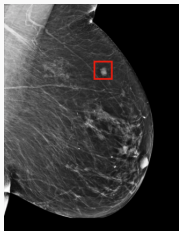
2020+ Colloque sur l'**Imagerie médicale à l'heure de l'IA**, à l'Institut du Cerveau.

Ma motivation : l'analyse de données médicales

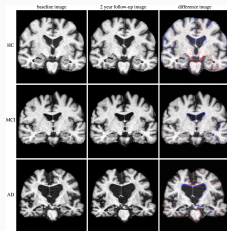


Trois caractéristiques :

- Données **hétérogènes** : parcours de soin, images, etc.
- Petits échantillons stratifiés : 10 - 1 000 patients par groupe.
- La gestions des **outliers** et de la **queue lourde** des distributions est une priorité.



Détecter un objet



Analyser une variation



Recaler un modèle

Quelques particularités, dans le contexte de la vision par ordinateur :

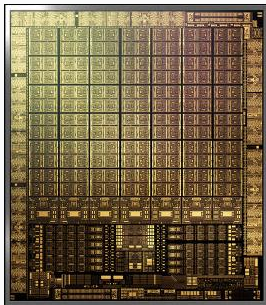
- Prises de vues **standardisées**, sans occlusions.
- Travail de **précision** (millimétrique).
- Importance des **garanties** de robustesse et de régularité.

Enjeu. Développer des modèles qui combinent **expertise médicale** et jeux de **données**.

Défi. Arrivée des **cartes graphiques (GPU)** :

- Excellent rapport **qualité-prix** :
 $1\ 000\text{€} \simeq 1\ 000\ \text{cœurs} \simeq 10^{12}\ \text{opérations/s.}$
- **Difficulté** : contraintes sur la gestion des **registres**.

Écosystème Python “grand public” consolidé autour d’un **petit nombre d’opérations élémentaires**.



7,000 cœurs en batterie sur un GPU.

Solution. Étendre la boîte à outils standard en sciences des données pour répondre aux défis posés par le monde médical.

Faciliter le développement de **modèles avancés**, sans compromis sur les performances numériques.

Un travail de fond, **fondations** numériques → applications de **haut niveau** :

1. Manipulation efficace de **matrices “symboliques”** (distances, noyaux, etc.).
2. **Transport optimal** : méthodes de tri généralisées.
3. **Deep learning** géométrique et applications **biomédicales**.

Avenir de ces outils et **perspectives cliniques**.

1. Matrices symboliques

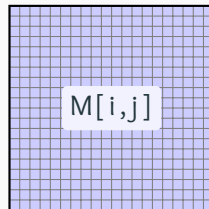
Les outils de calcul scientifique manipulent (surtout) des matrices

Contexte. Accès mémoires contraignants sur GPU :

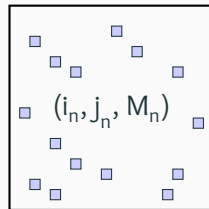
- Temps de transfert vers les registres pénalisent l'utilisation de matrices **denses**.
- Prime aux accès mémoires **contigus** pénalise l'utilisation de matrices **creuses**.

Défi. Pour atteindre des performances optimales :

- Se **restreindre** aux opérations supportées directement par le constructeur : convolutions, FFT, etc.
- Développer soi-même de nouvelles routines numériques en C++/CUDA (FAISS, KPCConv...) : **plusieurs mois de travail**.



Matrice dense



Matrice creuse

La bibliothèque KeOps : support efficace des matrices symboliques

Solution. KeOps – www.kernel-operations.io :

- Pour PyTorch, NumPy, Matlab et R sur **CPU et GPU**.
- **Différentiation automatique**.
- **Compilation** à la volée de **schémas optimisés** en C++, exécutés pour chaque **réduction** (somme, min, etc.).

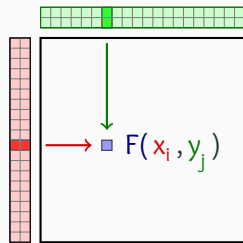
Si la formule “F” est simple (≤ 100 opérations arithmétiques) :

calcul “100k \times 100k” \rightarrow 10ms – 100ms,

calcul “1M \times 1M” \rightarrow 1s – 10s.

Limite matérielle de 10^{12} opérations/s.

Exécution **10 à 100 fois plus rapide** / code GPU standard pour une large gamme de problèmes.



Matrice symbolique

Formules + données

- Distances $d(x_i, y_j)$.
- Noyaux $k(x_i, y_j)$.
- Nombreuses transformées.

Premier exemple : la recherche de plus proches voisins

On crée de grands nuages de points avec la **syntaxe PyTorch standard** :

```
import torch
N, M, D = 10**6, 10**6, 50
x = torch.rand(N, 1, D).cuda() # (1M, 1, 50) array
y = torch.rand(1, M, D).cuda() # (1, 1M, 50) array
```

On convertit les tableaux **denses** en matrices **symboliques** :

```
from pykeops.torch import LazyTensor
x_i, y_j = LazyTensor(x), LazyTensor(y)
```

On crée une grande **matrice symbolique** des distances au carré :

```
D_ij = ((x_i - y_j) ** 2).sum(dim=2) # (1M, 1M) symbolique
```

On utilise une **réduction** `.argmin()` pour chercher les plus proches voisins :

```
indices_i = D_ij.argmin(dim=1) # -> tenseur torch standard
```

La bibliothèque KeOps combine performances et flexibilité

Code précédent = méthode **compétitive** avec
les implémentations C++/CUDA de référence (**FAISS**)...
Et qui peut être utilisée avec **n'importe quelle métrique** !

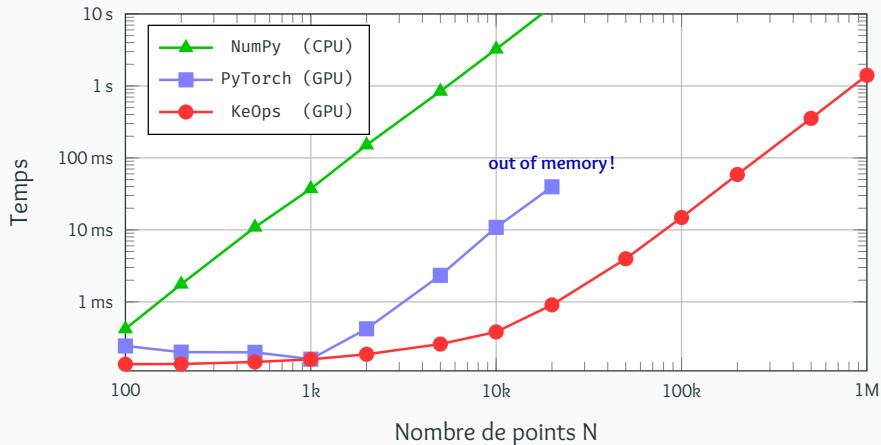
```
D_ij = ((x_i - x_j) ** 2).sum(dim=2)      # Euclidienne  
M_ij = (x_i - x_j).abs().sum(dim=2)     # Manhattan  
C_ij = 1 - (x_i | x_j)                  # Cosinus  
H_ij = D_ij / (x_i[...,0] * x_j[...,0]) # Hyperbolique
```

KeOps supporte des **formules** et **variables** arbitraires avec :

- **Réductions** : somme, log-sum-exp, K-min, produit matrice-vecteur, etc.
- **Opérations** : +, ×, sqrt, exp, réseaux de neurones, etc.
- **Schémas avancés** : calcul par batches, parcimonie par blocs, etc.
- **Différentiation automatique** : intégration complète avec PyTorch.

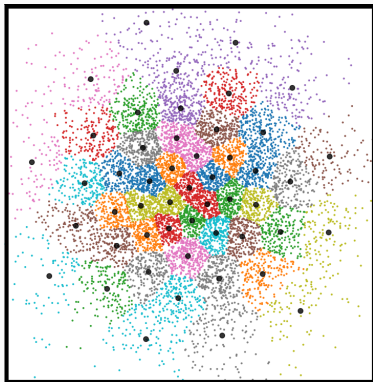
KeOps nous permet de tirer le meilleur parti de notre matériel, simplement

Benchmark d'une **convolution** avec un noyau Gaussien, entre **nuages de N points 3D** sur un GPU RTX 2080 Ti.

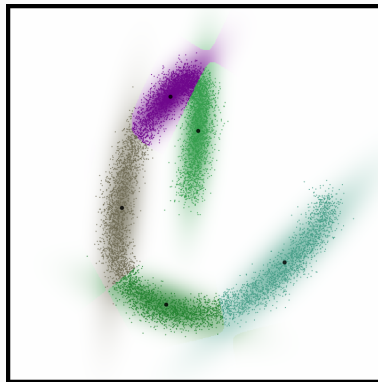


Applications

KeOps facilite la recherche en apprentissage machine



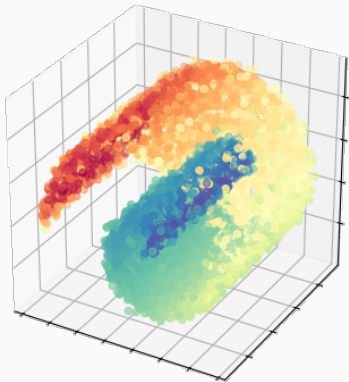
K-Means.



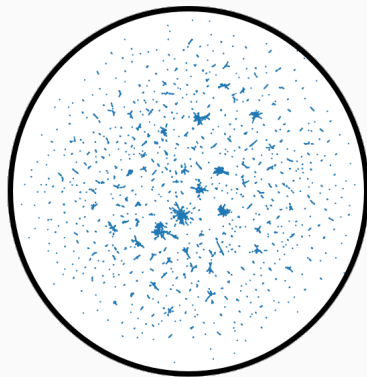
Mixtures de Gaussiennes.

KeOps est utilisable avec la formule, distance ou noyau de **votre choix** !

KeOps facilite la recherche en apprentissage machine



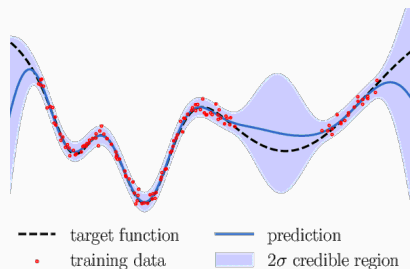
Analyse spectrale.



UMAP dans un espace hyperbolique.

KeOps est utilisable avec la formule, distance ou noyau de **votre choix** !

Un outil standard pour la régression [Lec18] :



Sous le capot, on résout un **système linéaire à noyaux** :

$$(\lambda \text{Id} + K_{xx}) a = b \quad \text{i.e.} \quad a \leftarrow (\lambda \text{Id} + K_{xx})^{-1} b$$

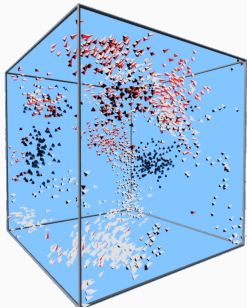
où $\lambda \geq 0$ et $(K_{xx})_{i,j} = k(x_i, x_j)$ est une matrice symétrique, définie positive.

Les tenseurs symboliques $(K_{xx})_{i,j} = k(x_i, x_j)$:

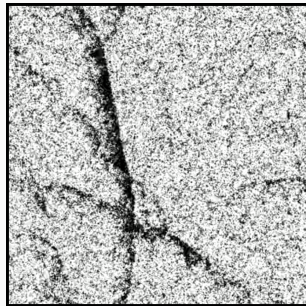
- Peuvent être interfacés avec des **solveurs standards** : SciPy, GPyTorch, etc.
- GPyTorch sur le jeu de données 3DRoad (N = 278k, D = 3) :
7h avec 8 GPUs → **15mn avec 1 GPU.**
- Fournissent une **plateforme efficace et flexible** pour les projets de recherche : voir par exemple *Kernel methods through the roof : handling **billions of points** efficiently*, par G. Meanti, L. Carratino, L. Rosasco, A. Rudi (2020).

KeOps permet aux chercheurs de se concentrer sur leurs modèles

Quelques applications aux **systèmes dynamiques** [DM08, DFMAT17]
et aux **statistiques** [CDF19] avec A. Diez, G. Clarté et P. Degond :



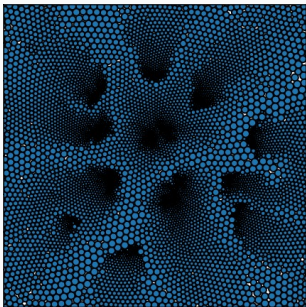
Modèle de Vicsek orienté en 3D,
démonstration interactive avec 2k **oiseaux**.



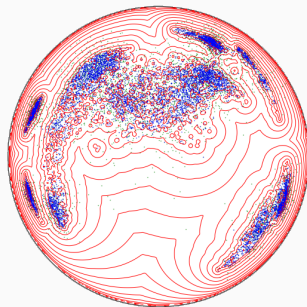
Modèle de Vicsek 2D sur le tore,
en temps réel avec 100k **nageurs**.

KeOps permet aux chercheurs de se concentrer sur leurs modèles

⇒ On simule plusieurs millions d'agents avec de simples scripts Python.



Problème de *packing*
avec 10k boules répulsives.



Échantillonnage de Monte Carlo Collectif
dans un espace hyperbolique.

2. Transport optimal

Le transport optimal (OT) généralise le tri aux espaces de dimension $D > 1$

Contexte. Si $A = (x_1, \dots, x_N)$ et $B = (y_1, \dots, y_N)$ sont deux nuages de N points dans \mathbb{R}^D , on définit :

$$\text{OT}(A, B) = \min_{\sigma \in \mathcal{S}_N} \frac{1}{2N} \sum_{i=1}^N \|x_i - y_{\sigma(i)}\|^2$$

Généralise le **tri** aux espaces métriques.

Problème linéaire sur la matrice de permutation P :

$$\text{OT}(A, B) = \min_{P \in \mathbb{R}^{N \times N}} \frac{1}{2N} \sum_{i,j=1}^N P_{i,j} \cdot \|x_i - y_j\|^2,$$

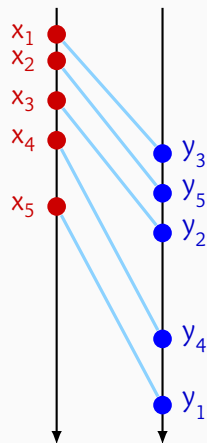
$$\text{s.t. } P_{i,j} \geq 0$$

$$\underbrace{\sum_j P_{i,j}} = 1$$

Chaque point au départ...

$$\underbrace{\sum_i P_{i,j}} = 1.$$

est transporté jusqu'à l'arrivée.



assignement

$$\sigma : [1, 5] \rightarrow [1, 5]$$

Propriétés clés de cette distance “à permutation près”

La distance de Wasserstein $\sqrt{\text{OT}}(\mathbf{A}, \mathbf{B})$ est :

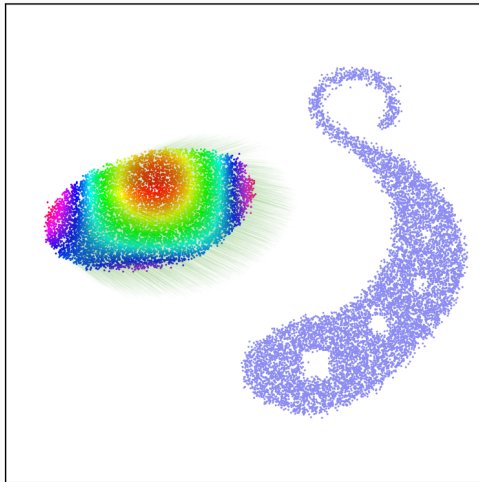
- **Symétrique :** $\text{OT}(\mathbf{A}, \mathbf{B}) = \text{OT}(\mathbf{B}, \mathbf{A})$.
- **Positive :** $\text{OT}(\mathbf{A}, \mathbf{B}) \geq 0$.
- **Définie :** $\text{OT}(\mathbf{A}, \mathbf{B}) = 0 \iff \mathbf{A} = \mathbf{B}$.
- **Compatible avec les translations :** $\text{OT}(\mathbf{A}, \text{Translation}_{\vec{v}}(\mathbf{A})) = \frac{1}{2} \|\vec{v}\|^2$.
- Plus généralement, OT retrouve l'unique **gradient d'une fonction convexe** $T = \nabla \phi$ qui envoie \mathbf{A} sur \mathbf{B} :

$$\text{En dimension 1, } (\mathbf{x}_i - \mathbf{x}_j) \cdot (\mathbf{y}_{\sigma(i)} - \mathbf{y}_{\sigma(j)}) \geq 0$$

$$\text{En dimension D, } \langle \mathbf{x}_i - \mathbf{x}_j, T(\mathbf{x}_i) - T(\mathbf{x}_j) \rangle_{\mathbb{R}^D} \geq 0.$$

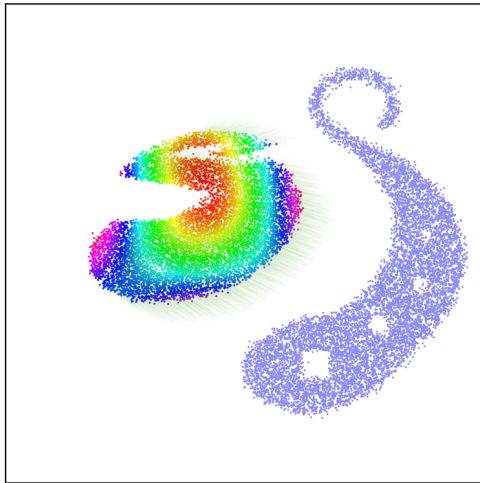
\implies Généralisation attrayante de la notion d'**application croissante**.

Un exemple simple en 2D



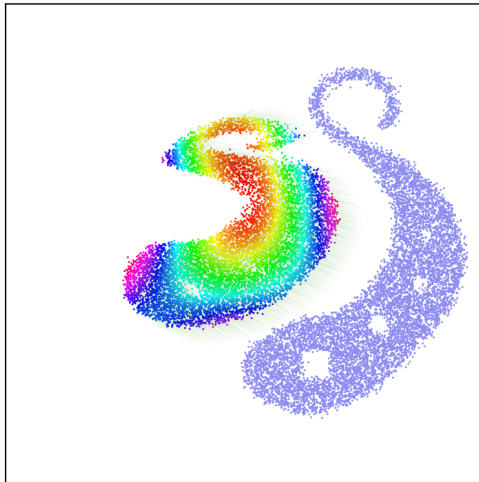
$t = .00$

Un exemple simple en 2D



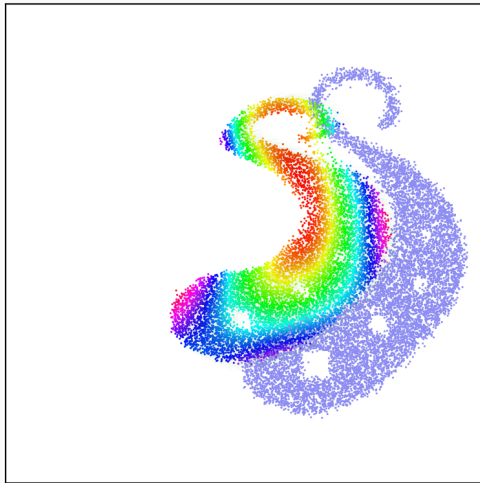
$t = .25$

Un exemple simple en 2D



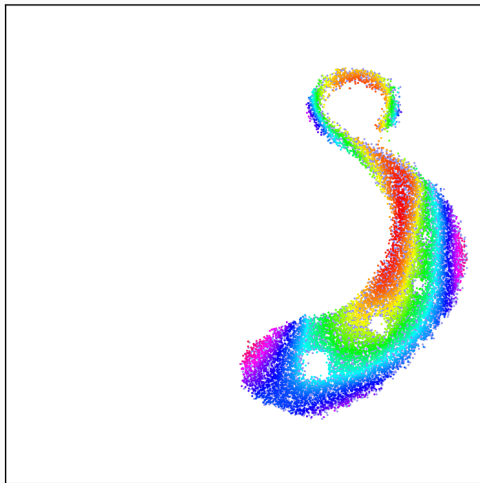
$t = .50$

Un exemple simple en 2D



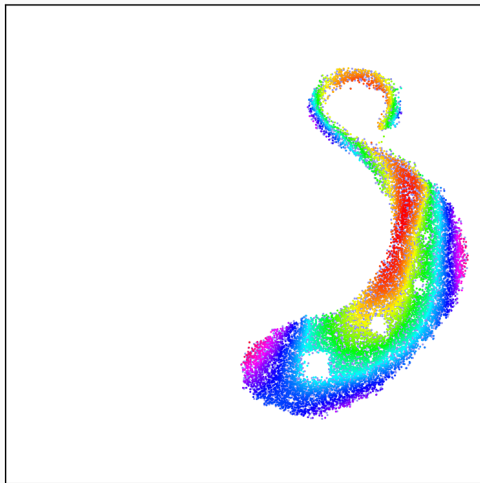
$t = 1.00$

Un exemple simple en 2D



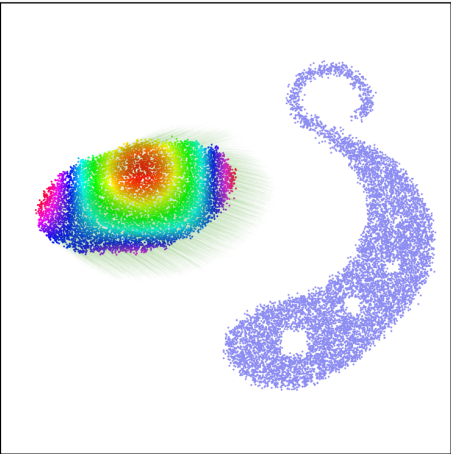
$t = 5.00$

Un exemple simple en 2D

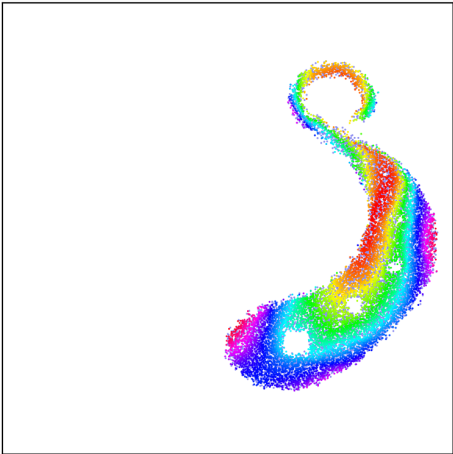


$t = 10.00$

Un modèle efficace... Mais attention aux déchirures !

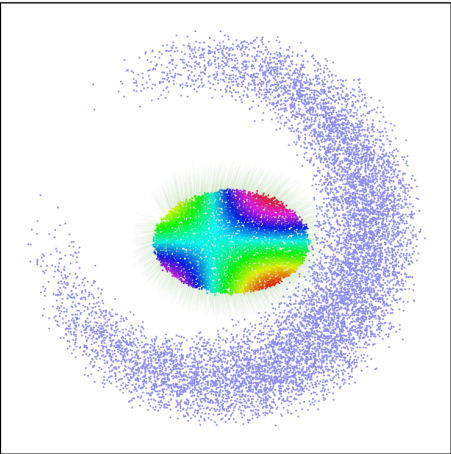


Avant

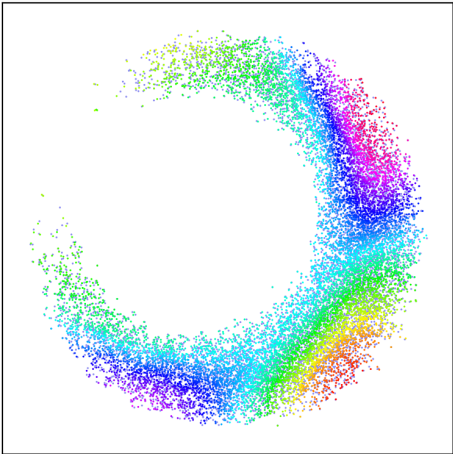


Après

Un modèle efficace... Mais attention aux déchirures !

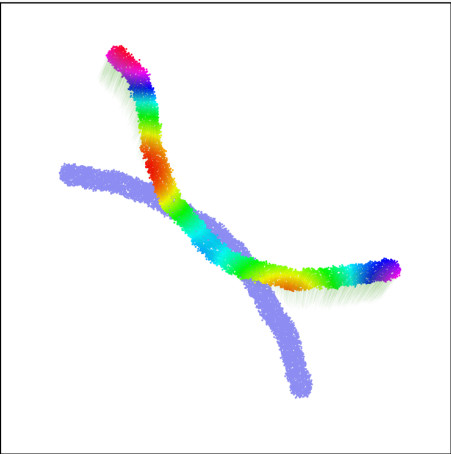


Avant



Après

Un modèle efficace... Mais attention aux déchirures !



Avant

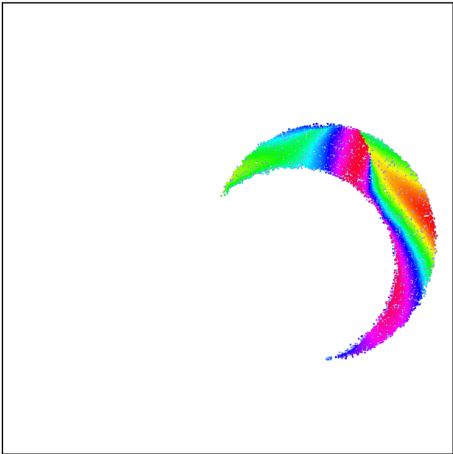


Après

Un modèle efficace... Mais attention aux déchirures !

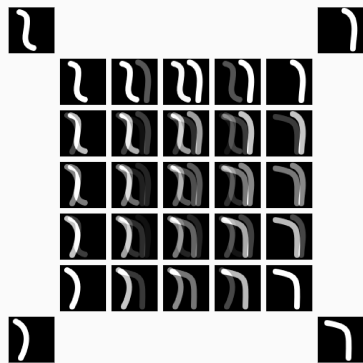


Avant



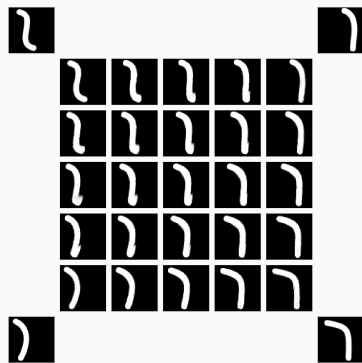
Après

$$\text{Barycentre } A^* = \arg \min_A \sum_{i=1}^4 \lambda_i \text{Loss}(A, B_i).$$



Barycentres euclidiens.

$$\text{Loss}(A, B) = \|A - B\|_{L^2}^2$$



Barycentres de Wasserstein.

$$\text{Loss}(A, B) = \text{OT}(A, B)$$

Défi. Assignment linéaire : difficile à résoudre en toute généralité.

Structure de la matrice des distances $\|x_i - y_j\|$

\implies **Accélérer** les calculs.

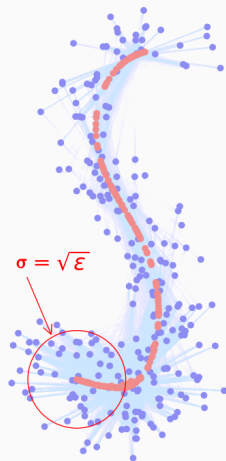
Outil fondamental : le **transport régularisé**

$OT_\varepsilon(A, B) \simeq OT(A, B) +$ pénalité entropique d'intensité $\varepsilon > 0$.

Approximation **lisse** et strictement **convexe** : plus facile à étudier,
très populaire algorithme de **Sinkhorn** (ou "SoftAssign").

En revanche, elle ne **vérifie pas les axiomes d'une distance** :

$$OT_\varepsilon(B, B) > 0.$$



$$\arg \min_A OT_\varepsilon(A, B).$$

Solution théorique : garantie de robustesse au biais entropique

Solution. Les divergences de Sinkhorn sont définies par :

$$S_\varepsilon(A, B) = \text{OT}_\varepsilon(A, B) - \frac{1}{2}\text{OT}_\varepsilon(A, A) - \frac{1}{2}\text{OT}_\varepsilon(B, B)$$

afin de retrouver une valeur nulle lorsque $A = B$.

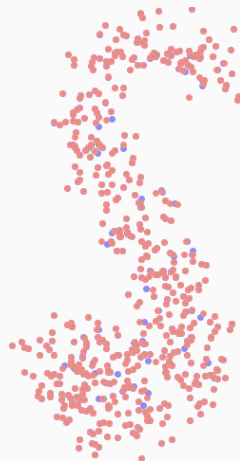
Théorème (S_ε se prête bien à l'optimisation)

Pour tous échantillons A et B :

$$S_\varepsilon(A, B) \geq 0 \text{ avec égalité ssi. } A = B,$$

$A \mapsto S_\varepsilon(A, B)$ est convexe au sens des mesures,
différentiable et métrise la convergence en loi.

On généralise ce résultat aux **mesures** de Radon positives,
à des **métriques** $\|x_i - y_j\|$ générales et au cas “**unbalanced**”.



$$\arg \min_A S_\varepsilon(A, B).$$

En pratique, comment résoudre le problème de transport optimal ?

Dates clés pour le transport optimal avec N points :

- [Kan42] : problème **dual** de Kantorovitch.
- [Kuh55] : algorithme **hongrois** en $O(N^3)$.
- [Ber79] : méthode des **enchères** en $O(N^2)$.
- [KY94] : **SoftAssign** = Sinkhorn + recuit simulé, en $O(N^2)$.
- [GRL⁺98, CR00] : **Robust Point Matching** = Sinkhorn comme fonction d'erreur.
- [Cut13] : utilisation des **GPUs**.
- [Mér11, Lév15, Sch19] : solveurs **multi-échelles** en $O(N \log N)$.

- **Solution**, aujourd'hui : **algorithme de Sinkhorn multi-échelles, sur GPU**.
 - ⇒ Algorithme de **tri rapide** généralisé.

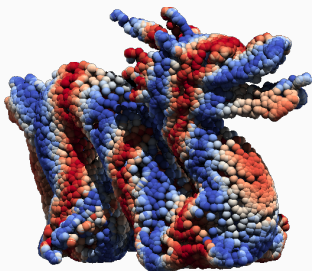
Solution pratique : l'algorithme de Sinkhorn multi-échelles

Entre 2015 et 2020, l'état de l'art pour le transport optimal discret a été amélioré par **un à trois ordres de grandeur** – selon le régime d'utilisation :

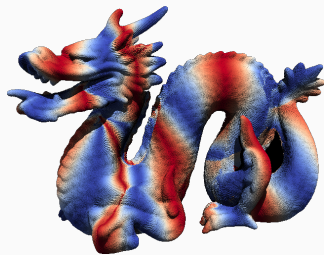
Sinkhorn GPU $\xrightarrow{\times 10}$ + KeOps $\xrightarrow{\times 10}$ + Recuit simulé $\xrightarrow{\times 10}$ + Multi-échelle

Résoudre un problème de transport avec une précision de 1% :

`pip install`
`geomloss`
+
GPU récent
(1 000 €)



10k points en 30-50ms



100k points en 100-200ms

3. Deep learning géométrique

Concevoir des modèles entraînaibles et adaptés aux experts

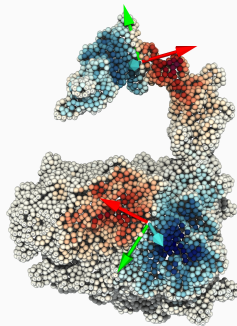
Enjeu. Modèles profonds sur des **domaines non-euclidiens** (nuages de points, surfaces, graphes, etc.), au-delà des images 2D/3D.

Défi. En dépit d'un intérêt industriel croissant, ces modèles restent **mal supportés** numériquement. Le C++/CUDA reste (souvent) incontournable.

Solution. En quelques lignes de Python, avec KeOps :

- Interactions **locales** : K-plus-proches voisins.
- Interactions **globales** : convolutions généralisées.

Liberté de modélisation
⇒ **Spécificités** des domaines étudiés.



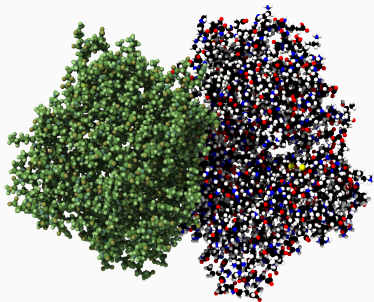
Convolution
quasi-géodésique
sur un nuage de
points orientés.

Benchmarks de quelques “convolutions” sur ShapeNet (N = 2,048 points 3D)

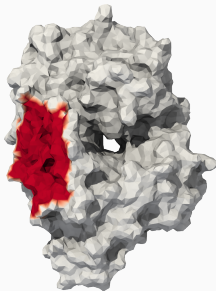
$$f_i \leftarrow \sum_{x_j \in \text{KNN}(x_i)} \text{Conv}(x_i, x_j, f_j) \quad \text{ou} \quad \sum_{\text{tous les } x_j} \exp(-\|x_i - x_j\|^2 / 2\sigma^2) \cdot \text{Conv}(x_i, x_j, f_j)$$

	PyTorch	JAX		KeOps	
Primitive $\text{Conv}(x_i, x_j, f_j)$	40-NN	40-NN	Gaussien	40-NN	Gaussien
Moyennes locales	686 μs	1,052 μs	469 μs	121 μs	12 μs
Matrices de covariances	700 μs	1,093 μs	1,259 μs	138 μs	23 μs
MLP (H = 8)	737 μs	1,180 μs	4,089 μs	192 μs	75 μs
MLP (H = 16)	775 μs	1,253 μs	7,043 μs	240 μs	649 μs

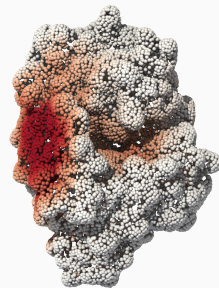
Les interactions “entre tous les points” deviennent **viables** :
nous ne sommes plus obligés de nous restreindre à des convolutions
très locales sur un graphe de **K-plus-proches voisins**.



(a) Données brutes : atomes en 3D.

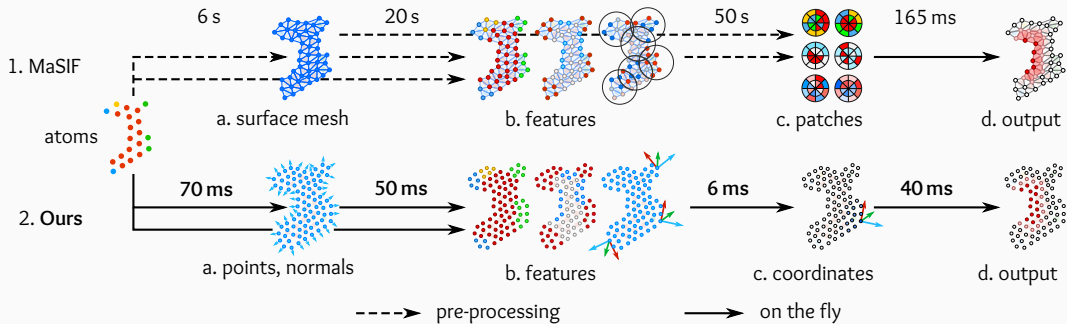


(b) Interface observée.



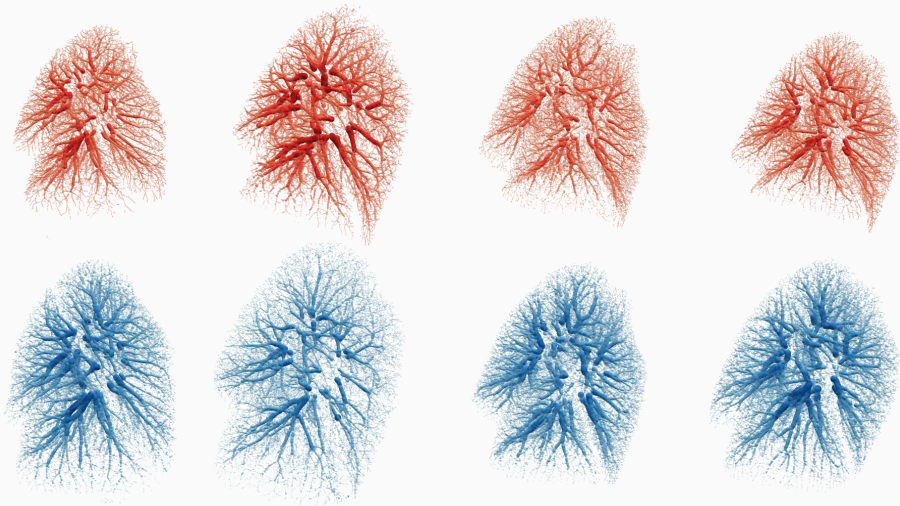
(c) Prédiction du modèle.

“Fast end-to-end learning on protein surfaces” [SFCB20]



→ ×100 – ×1,000 plus rapide, léger et complètement différentiable.

Application à l'appariement de poumons “Expiration – Inspiration”



Déformations **complexes**, haute **résolution** (50k–300k points), haute **précision** ($< 1\text{mm}$). 31

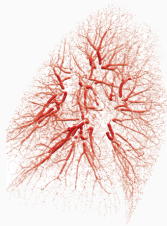
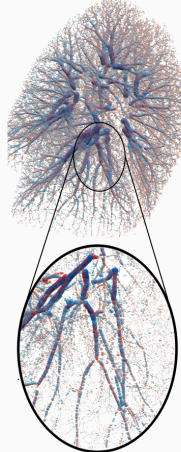
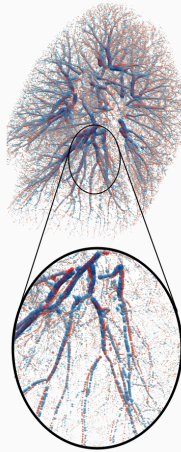
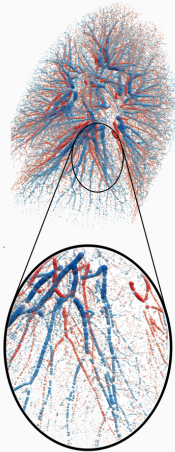
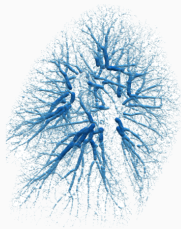
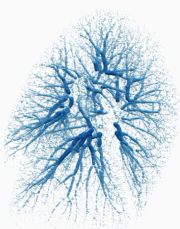
On combine :

1. Un **pré-recalage** global : OT + déformation affine.
2. Un **recalage** “au centimètre près” : réseau multi-échelles + difféomorphisme.
3. Un **affinage** “au millimètre près” : OT + régularisation spline.

Cette méthode **pragmatique** :

- Est **facile à entraîner** sur des données synthétiques.
- Passe à l'échelle : 100k points en $< 1s$.
- Donne d'excellents résultats : **KITTI** (*scene flow*) et **DirLab** (poumons).

Un recalage en trois temps



0. Données.

1. Pré-recalage.

Zoom !

2. Au cm près.

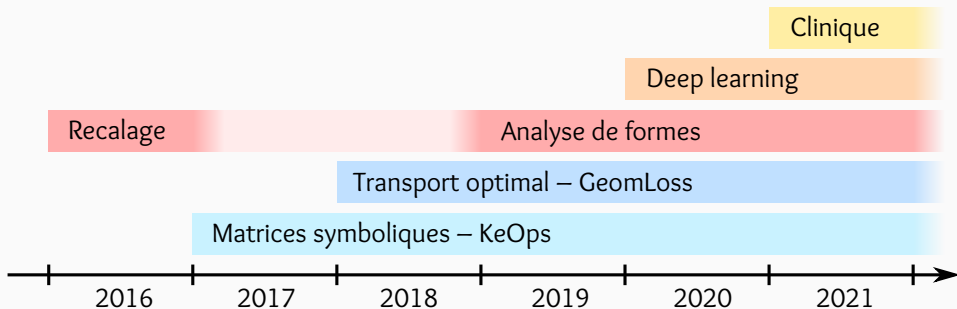
3. Au mm près.

Accurate point cloud registration with **robust** optimal transport : à paraître à la fin du mois.

Bilan : un investissement de long terme qui porte ses fruits

Deux évolutions majeures :

- “Gros” problème géométrique : $N > 10k \rightarrow N > 1M$.
- Transport optimal : **problème** linéaire + **tri rapide** généralisé.



**Avenir de ces outils,
contexte scientifique**

Un réel travail d'équipe



Alain Trouvé



Thibault Séjourné



F.-X. Vialard



Gabriel Peyré



Benjamin Charlier



Joan Glaunès



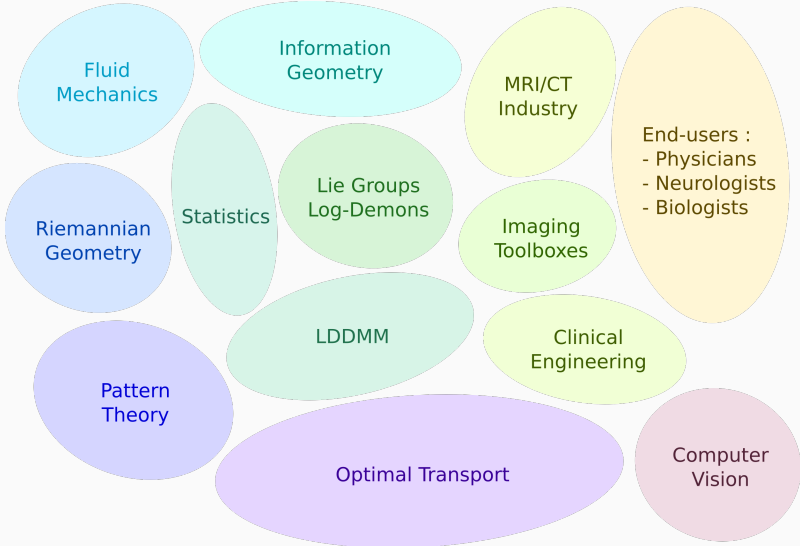
Freyr Sverrisson



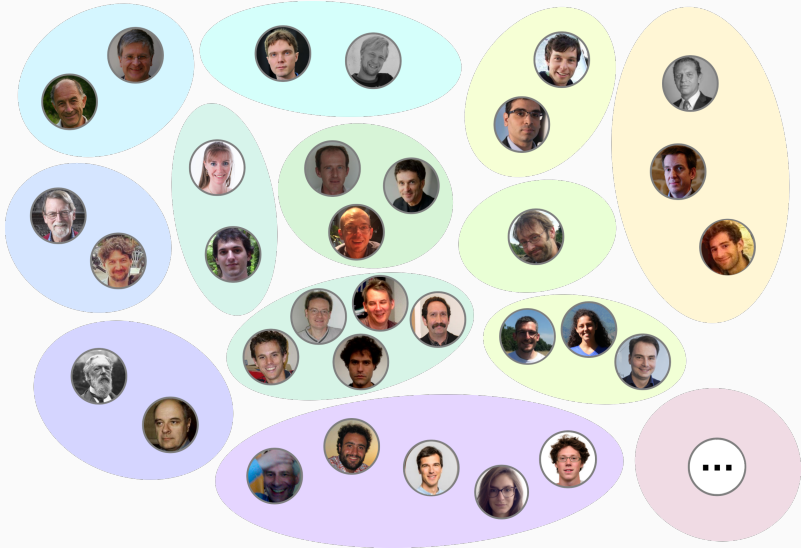
Shen Zhengyang

+ Marc Niethammer, Bruno Correia, Michael Bronstein...

Promouvoir des interactions entre domaines



Promouvoir des interactions entre domaines



L'émergence d'une boîte à outils ouverte et **modulaire**
a été une **bénédiction** pour la communauté.

Les bibliothèques de *deep learning* ont mis le **calcul sur GPU**
et la **différentiation automatique** à la portée de tous.
(Incroyable!)

Ces logiciels sont soutenus par des acteurs **industriels majeurs** (Google, Facebook...)
et ont permis à nos domaines **d'exploser** au cours de la dernière décennie.

Interagir avec d'autres chercheurs, des médecins
et des ingénieurs n'a jamais été aussi **facile**.

Mais d'un autre côté, PyTorch et TensorFlow ont aussi **biaisé** la recherche vers un **petit nombre** d'opérations **bien supportées** : convolutions et produits matrice-matrice.

Ce focus n'est **pas** la conséquence d'une limitation intrinsèque des GPUs : notre matériel est parfaitement capable de **simuler** de vastes **environnements 3D** en temps réel !

En tant que chercheurs, nous devons travailler à **ouvrir d'autres chemins**. Permettre le développement d'une gamme d'outils **complète**, des méthodes convexes et **robustes** aux modèles de *deep learning* **expressifs**.

KeOps et GeomLoss sont :

- **Rapides** : 10 à 1,000 fois plus efficaces que des codes GPU standards.
- **Économiques en mémoire** : $O(N)$ et pas $O(N^2)$.
- **Versatiles**, avec une interface **transparente** : liberté !
- **Puissantes et bien documentées** : pensées pour la recherche.

- **Lentes** avec de **très grands vecteurs de features** en dimension $D > 100$.

À venir cette année :

- **Méthodes d'approximation** (Nyström, etc.) dans KeOps.
- Support optimal des **barycentres** et des **images** dans GeomLoss.

Un projet en pleine évolution

2017–18 **Preuve de concept** avec articles de conférences et codes en ligne.

Premiers retours de la communauté.

2019–21 **Bibliothèque stable** avec des théorèmes solides et une API bien documentée.

Backend KeOps pour des paquets de haut niveau.

100k+ téléchargements sur pip, etc.

2021–22 **Bibliothèque mûre** avec des articles d'application concrets.

Fonctionne *out-of-the-box* pour les étudiants et les ingénieurs.

⇒ Refonte du moteur de compilation de KeOps pour la v1.6.

⇒ GeomLoss comme backend pour POT v1.0.

2022+ **Une bibliothèque standard** avec de réelles applications cliniques? C'est l'objectif!

Conclusion

- Les matrices **symboliques** sont au ML **géométrique** ce que les matrices **creuses** sont au traitement de **graphes** :
 - KeOps : **accélération x30** vs. PyTorch, TF et JAX.
 - Utiles pour de nombreux problèmes.
- Transport optimal = **tri généralisé** :
 - Appariement géométrique.
 - Solveurs très rapides en $O(N \log N)$.
- Ces outils ouvrent de **nouveaux chemins** pour les géomètres et les statisticiens :
 - Les GPUs sont plus **versatiles** qu'on ne le croit.
 - Travail constant sur les **fondations numériques** de la recherche, au-delà de ce pourquoi Google et Facebook sont prêts à payer.

KeOps et GeomLoss stimulent la recherche sur :

- Les méthodes de **clustering** : K-Means et EM rapides.
- La **représentation** des données : UMAP, KNN rapides avec n'importe quelle métrique.
- Les méthodes à **noyaux** : matrices de noyaux.
- Les **processus Gaussiens** : matrices de covariances.

- Le **deep learning géométrique** : convolutions sur les points.
- L'imagerie **médicale** : anatomie computationnelle.
- Les **statistiques géométriques** : au-delà des modèles Euclidiens.
- Le traitement du **langage** : *transformers* efficaces ?

Qu'en pensez-vous ?

Annexe

 M. Agueh and G. Carlier.

Barycenters in the Wasserstein space.

SIAM Journal on Mathematical Analysis, 43(2):904–924, 2011.

 Dimitri P Bertsekas.

A distributed algorithm for the assignment problem.

Lab. for Information and Decision Systems Working Paper, M.I.T., Cambridge, MA, 1979.

 Grégoire Clarté, Antoine Diez, and Jean Feydy.

Collective proposal distributions for nonlinear MCMC samplers : Mean-field theory and fast implementation.

arXiv preprint arXiv:1909.08988, 2019.

 Christophe Chnafa, Simon Mendez, and Franck Nicoud.

Image-based large-eddy simulation in a realistic left heart.

Computers & Fluids, 94:173–187, 2014.

 Haili Chui and Anand Rangarajan.

A new algorithm for non-rigid point matching.

In *Computer Vision and Pattern Recognition, 2000. Proceedings. IEEE Conference on*, volume 2, pages 44–51. IEEE, 2000.

 Adam Conner-Simons and Rachel Gordon.

Using ai to predict breast cancer and personalize care.

<http://news.mit.edu/2019/using-ai-predict-breast-cancer-and-personalize-care-0507>, 2019.

MIT CSAIL.

 Marco Cuturi.

Sinkhorn distances : Lightspeed computation of optimal transport.

In Advances in Neural Information Processing Systems, pages 2292–2300, 2013.

 Pierre Degond, Amic Frouvelle, Sara Merino-Aceituno, and Ariane Trescases.

Alignment of self-propelled rigid bodies : from particle systems to macroscopic equations.

In International workshop on Stochastic Dynamics out of Equilibrium, pages 28–66. Springer, 2017.

-  Pierre Degond and Sébastien Motsch.
Continuum limit of self-driven particles with orientation interaction.
Mathematical Models and Methods in Applied Sciences, 18(supp01):1193–1215, 2008.
-  Steven Gold, Anand Rangarajan, Chien-Ping Lu, Suguna Pappu, and Eric Mjolsness.
New algorithms for 2d and 3d point matching : Pose estimation and correspondence.
Pattern recognition, 31(8):1019–1031, 1998.



Leonid V Kantorovich.

On the translocation of masses.

In *Dokl. Akad. Nauk. USSR (NS)*, volume 37, pages 199–201, 1942.



Harold W Kuhn.

The Hungarian method for the assignment problem.

Naval research logistics quarterly, 2(1-2):83–97, 1955.

 Jeffrey J Kosowsky and Alan L Yuille.

The invisible hand algorithm : Solving the assignment problem with statistical physics.

Neural networks, 7(3):477–490, 1994.

 Florent Leclercq.

Bayesian optimization for likelihood-free cosmological inference.

Physical Review D, 98(6):063511, 2018.

 Bruno Lévy.

A numerical algorithm for l2 semi-discrete optimal transport in 3d.

ESAIM : Mathematical Modelling and Numerical Analysis, 49(6):1693–1715, 2015.

 Christian Ledig, Andreas Schuh, Ricardo Guerrero, Rolf A Heckemann, and Daniel Rueckert.

Structural brain imaging in Alzheimer's disease and mild cognitive impairment : biomarker analysis and shared morphometry database.

Scientific reports, 8(1):11258, 2018.

 Quentin Mérigot.

A multiscale approach to optimal transport.

In *Computer Graphics Forum*, volume 30, pages 1583–1592. Wiley Online Library, 2011.

 Bernhard Schmitzer.

Stabilized sparse scaling algorithms for entropy regularized transport problems.

SIAM Journal on Scientific Computing, 41(3):A1443–A1481, 2019.

 Freyr Sverrisson, Jean Feydy, Bruno E. Correia, and Michael M. Bronstein.

Fast end-to-end learning on protein surfaces.

bioRxiv, 2020.